

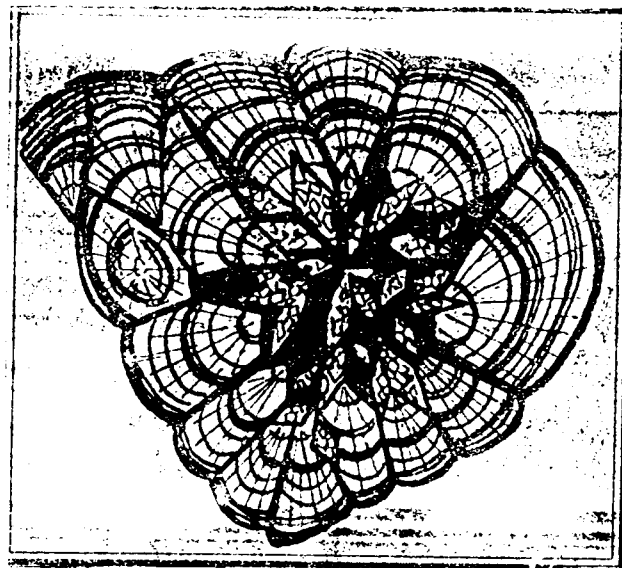
Міністерство освіти України
Інститут геохімії, мінералогії та рудоутворення
Волинський університет, лабораторія біомінералогії,
медикоекологічного та шкільного картографування
Українське мінералогічне товариство

Збірник матеріалів конференції

*«Біомінералогія і медична екологія» та наукових
досліджень лабораторії біомінералогії,
медикоекологічного та шкільного картографування*

/Волинський університет/

18 – 20 жовтня 1995 р.



ВЛИЯНИЕ УРОВНЯ АДАПТАЦИОННОГО ПОТЕНЦИАЛА БИОСИСТЕМЫ НА ДИНАМИКУ
ПАРАМЕТРОВ ЭНДОКРИННОЙ РЕГУЛЯЦИИ ВОССТАНОВЛЕНИЯ БИОМИНЕРАЛЬНЫХ
СТРУКТУР ПРИ ПОВРЕЖДЕНИИ КОСТИ

Божкова С.А., Корнилов Н.В., Новоселов К.А., Аврунин А.С.

Российский НИИТО им. Р.Р.Бредена, директор д.м.н., проф., з.д.н. РФ,
акад. ИА Н.В.Корнилов, г. Санкт-Петербург/

Воздействие на организм в процессе предоперационной подготовки слабыми стрессогенными факторами повышает его адаптационный потенциал [Аврунин А.С. с соавт., 1994; Мерсон Ф.Э., 1993].

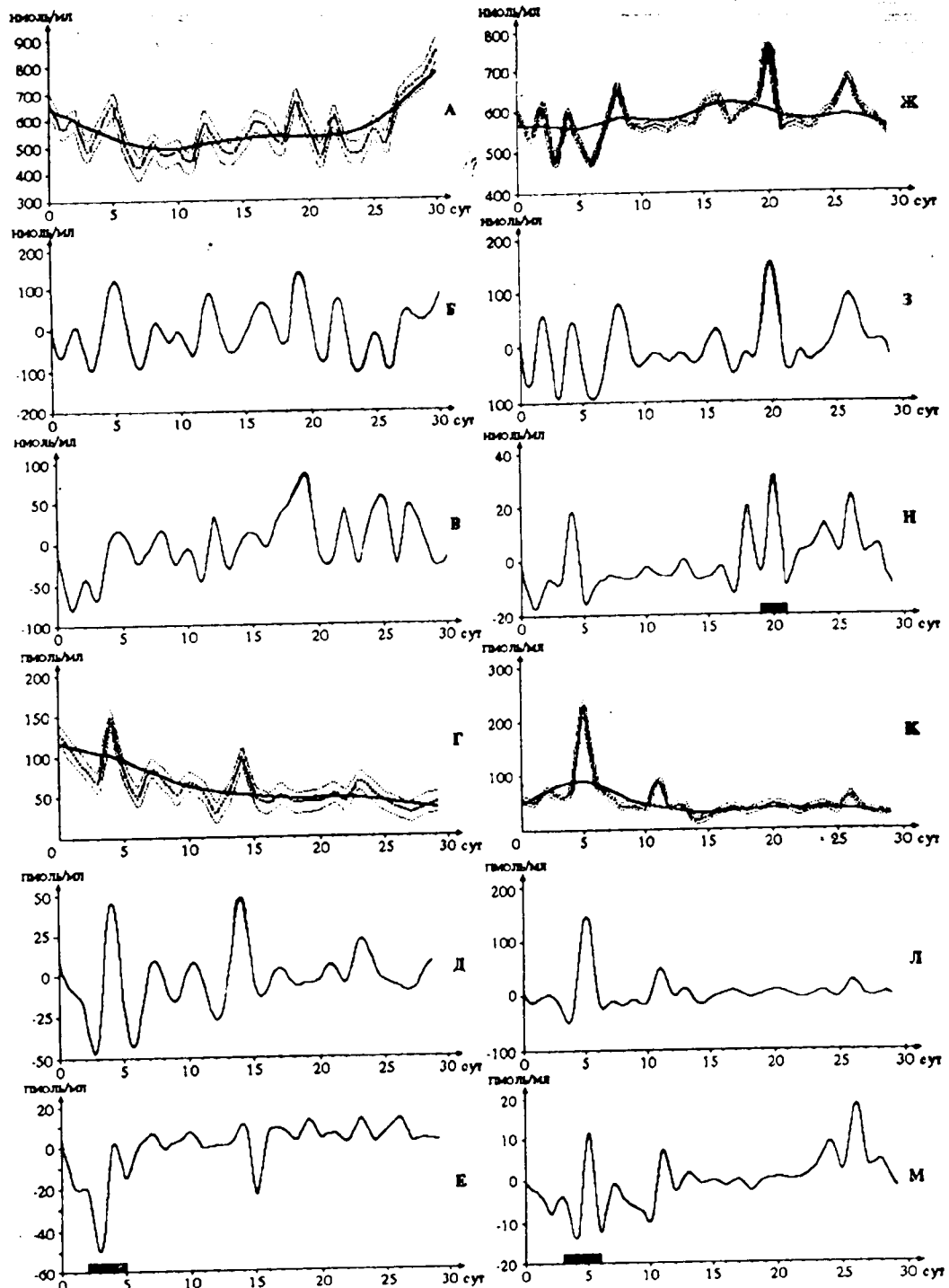
Цель работы: оценить по динамике классических стрессовых параметров (инсулина, кортизола) изменения пространственно-временной организации биосистемы при различном уровне адаптационного потенциала организма в ответ на разрушение биоминеральных структур кости.

Обследовано 145 пациентов мужского пола с плановыми реконструктивными операциями на нижних конечностях. Из них у 47 в процессе предоперационной подготовки использовали пиrogинал (I группа), а 98 готовили обычными методами (II группа). Содержание инсулина (153 и 320 исследований соответственно) определяли в сыворотке крови методом РИА [Стеврон-К-125-І-М и риотинс-ПГ-125-І (Беларусь)] однократно до операции, а затем по скользящему графику в течение месяца. Полученные данные сглаживали кубическими сплайнами по методу наименьших квадратов [де Бор, 1985]. Сравнение кривых проводили, используя "метрику Соболева" [1950]. Высокочастотные шумы (период меньше 3-х суток) выделяли методом фурье из остатков, после чего проводили анализ отношения дисперсии отдельных участков кривой к дисперсии всего ряда.

Установлены циркаситанные колебания уровней инсулина и кортизола в обеих группах (см. рис.).

У больных I группы амплитуды колебаний обоих параметров были выше ($p<0,05$) и периоды колебаний больше. Различия между I и II группами в изменении тренда уровня инсулина выявлены с 1-х по 5-е сутки и кортизола - на 8-е и с 25-х по 28-е; колебательных составляющих инсулина - с 4-х по 6-е, кортизола - на 5-е, 6-е, 20-е, 26-е и 27-е сутки ($p<0,05$). При анализе шумов установлено, что у пациентов I группы дисперсия величины шума увеличена ($p<0,05$) для инсулина с 2-х по 5-е сутки, а во II - для инсулина с 3-х по 6-е и для кортизола с 19-х по 21-е сутки.

Как известно, в процессе формирования органического матрикса кости инсулин стимулирует минерализацию хряща [Silberberg R. et al, 1972], а кортизол тормозит деление остеобластов, синтез ими коллагена и усиливает действие паратиреоидного гормона [Марри Р. с соавт., 1993]. Выявленные особенности свидетельствуют о том, что сроки изменения взаимоотношения их регулярной активности в сопоставляемых группах отличаются и, следовательно, зависят от уровня адаптационного потенциала биосистемы.



Подписи к рисунку:

Рис. Динамика уровней кортизола и инсулина в сыворотке крови в процессе восстановления биоминеральной структуры кости у пациентов первой и второй групп.

Графики: А, Б, В, Ж, З, И - динамика уровня кортизола; Г, Д, Е, К, Л, М - динамика уровня инсулина; А, Б, В, Г, Д, Е - динамика уровня гормонов у больных первой группы; Ж, З, И, К, Л, М - динамика уровня гормонов у больных второй группы; Б, Д, З, Л - колебательные составляющие динамики уровней гормонов у больных первой и второй групп; В, Е, И, М - высокочастотные шумы уровня гормонов у больных первой и второй групп.

Обозначения:

на графиках А, Г, Ж, К:

— тренд (параметры модели $P=0,001$);

----- сглаживание сплайнами с параметрами модели $P=0,7$;

—— полуширина доверительной полосы ($1,96\sigma$);

на графиках В, Е, И, М:

□- временные интервалы во время которых изменяется дисперсия величины шума ($P<0,05$).